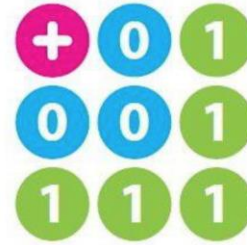




ВМК

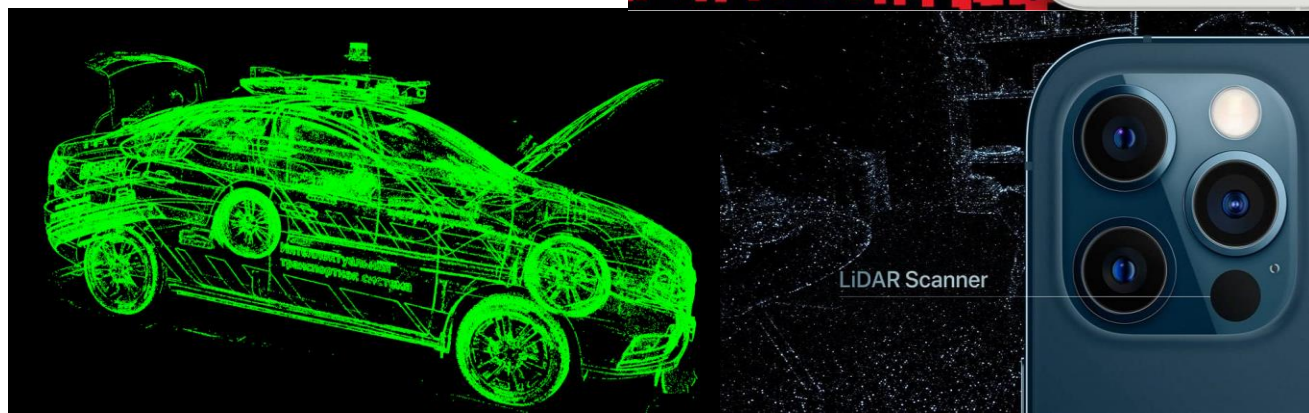
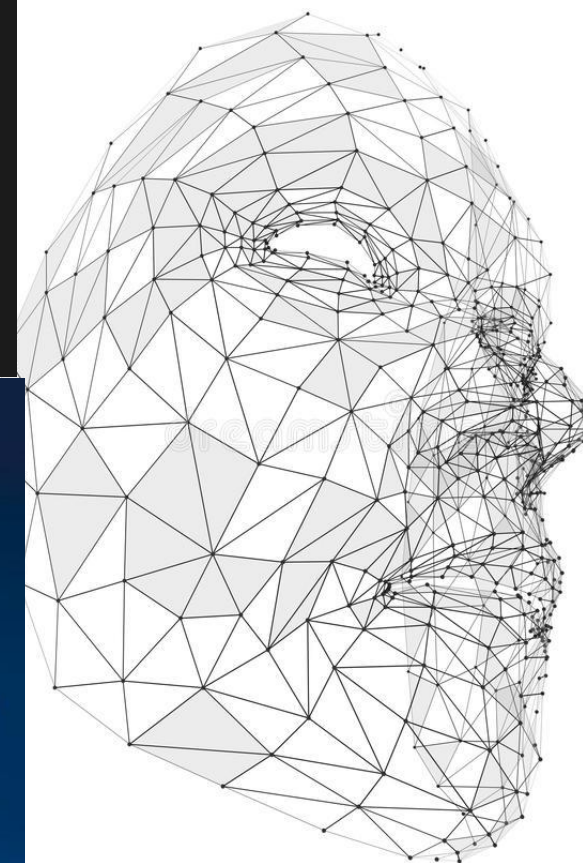
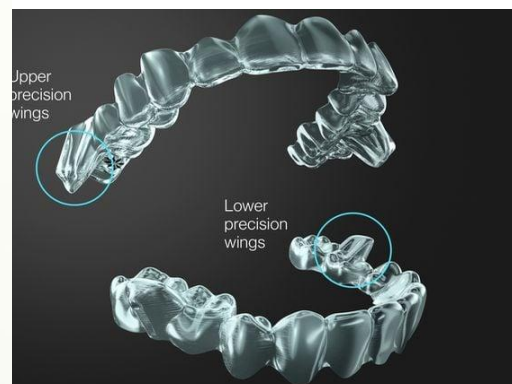


Кафедра
суперкомпьютеров
и квантовой
информатики

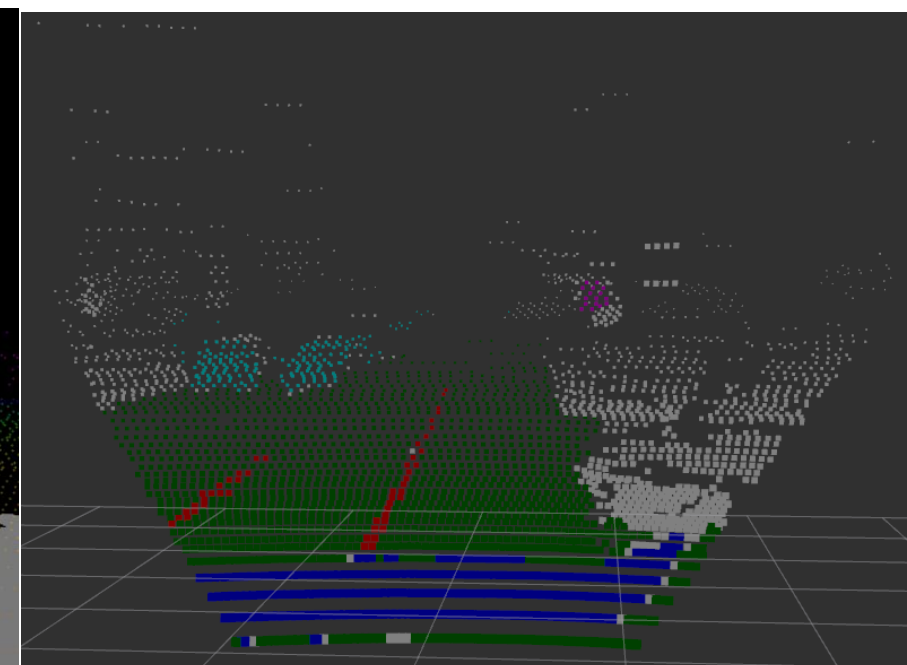
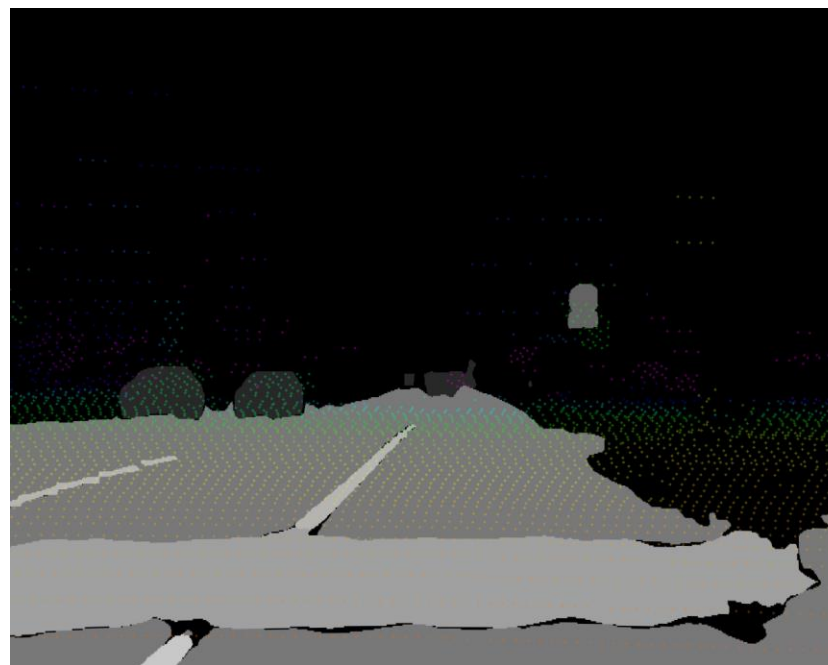
Диссертация на тему:
«Исследование эффективности метода движущихся
наименьших квадратов при реконструкции трёхмерной
поверхности на суперкомпьютере»

Хабибулин Марат СКИ-638
Научный руководитель:
к.ф.-м.н., доцент Никольский
Илья Михайлович

Актуальность



Актуальность

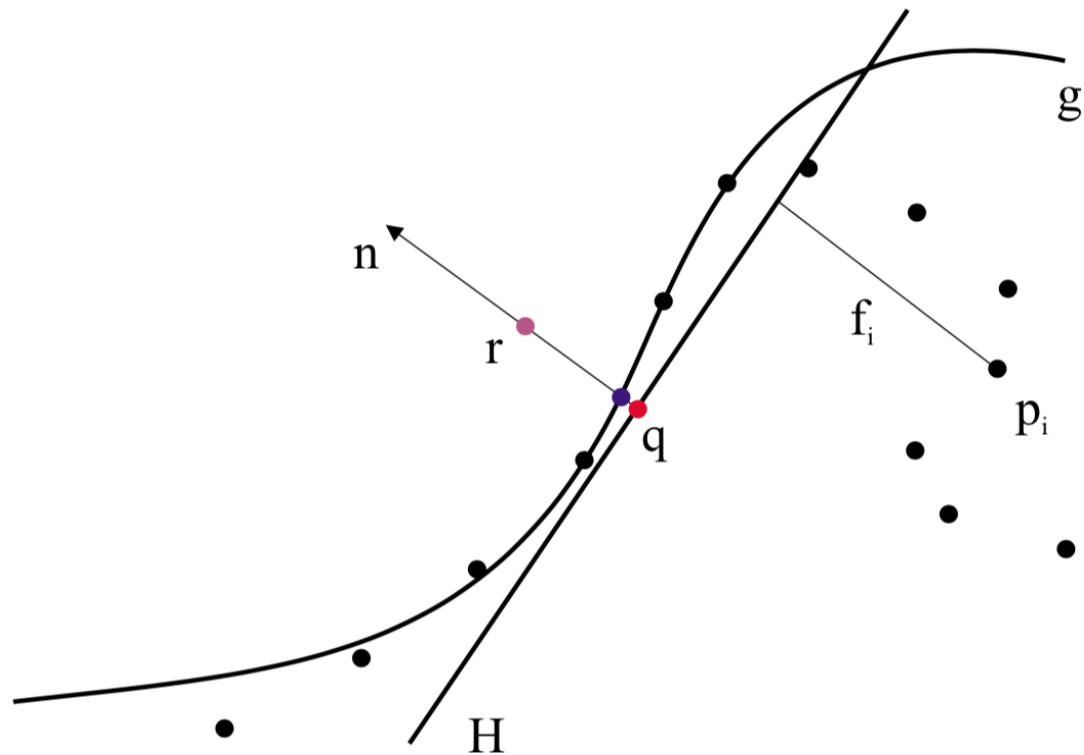




Цель работы и постановка задачи

- Целью настоящей работы является разработка параллельного метода реконструкции поверхности на высокопроизводительных кластерах, позволяющего добиться оптимальных результатов как в эффективности, так и в качестве восстановления поверхности.
- Постановка задачи
 - 1) Изучить существующие методы реконструкции поверхности
 - 2) Разработать алгоритм реконструкции поверхности, на распределенной памяти
 - 3) Протестировать разработанный алгоритм и оценить его эффективность, ускорение а также качество восстановленной поверхности

Алгоритм MLS(Moving Least Squares)

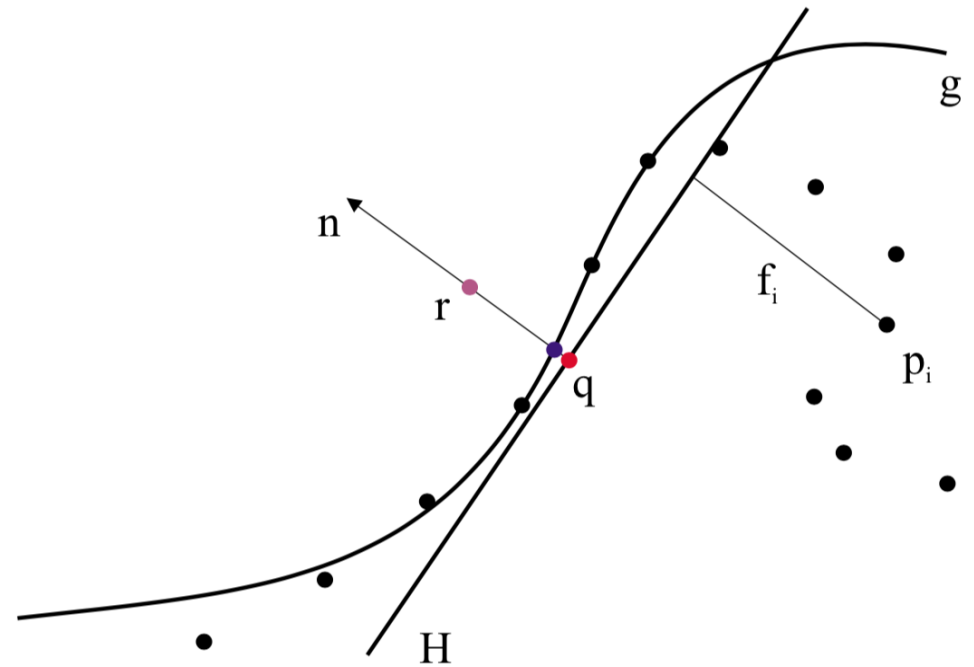
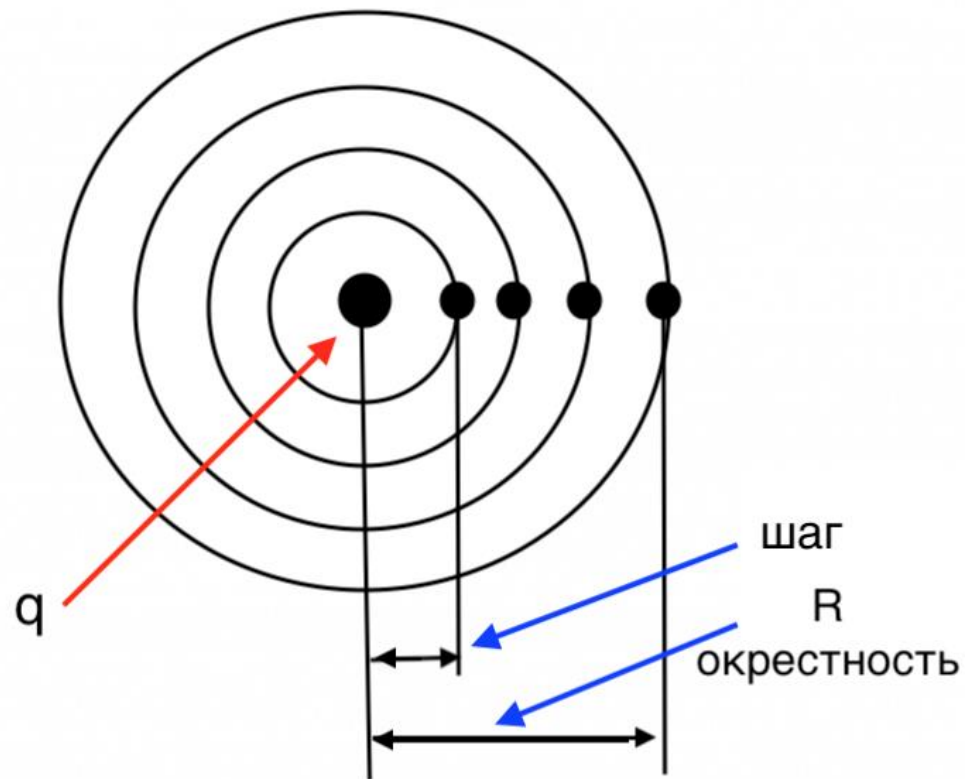


$$p_i \in R^3, i \in \{1, \dots, N\} \quad (1)$$

$$H = \{x \mid \langle n, x \rangle - D = 0, x \in R^3, n \in R^3, \|n\| = 1\} \quad (2)$$

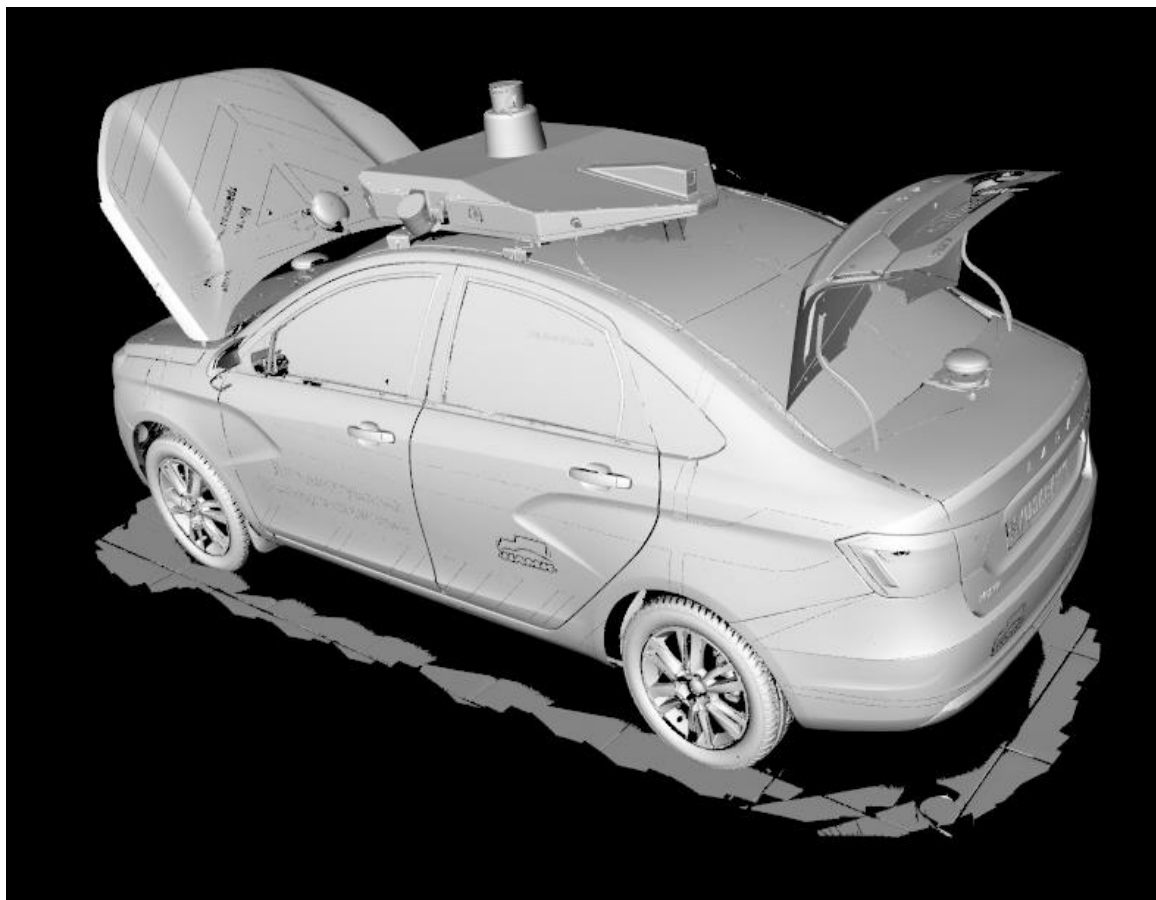
$$\sum_{i=1}^N (\langle n, p_i \rangle - D)^2 \theta(\|p_i - q\|) \quad (3)$$

Повышение плотности точек

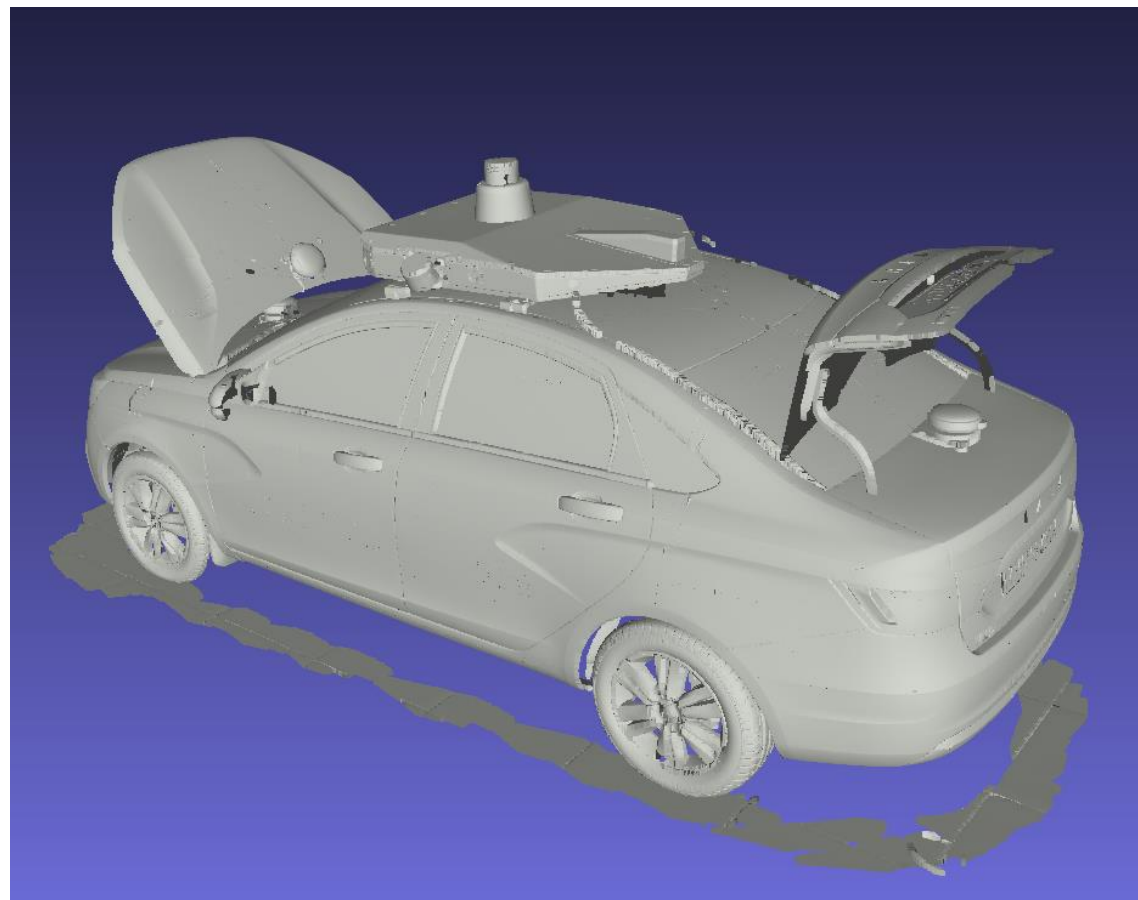


Рендеринг

25000000 полигонов



25000000 точек



Предложенный параллельный метод

Алгоритм 1 Параллельный метод движущихся наименьших квадратов с MPI и OpenMP

Вход: набор точек $P = \{p_i\} \ i = 1..n$

Выход: поверхность представленная набором точек

1: **for each** process u **do**

2: $P^{(u)} = read(P)$ // каждый процесс считывает свой сегмент облака точек $P^{(u)} = \{p_j\} \ j = 1..m$

3: $P_l^{(u)} = send_recv(P_r^{(u-1)})$ // получение левой границы

4: $P_r^{(u)} = send_recv(P_l^{(u+1)})$ // получение правой границы

5: **pragma omp parallel for**

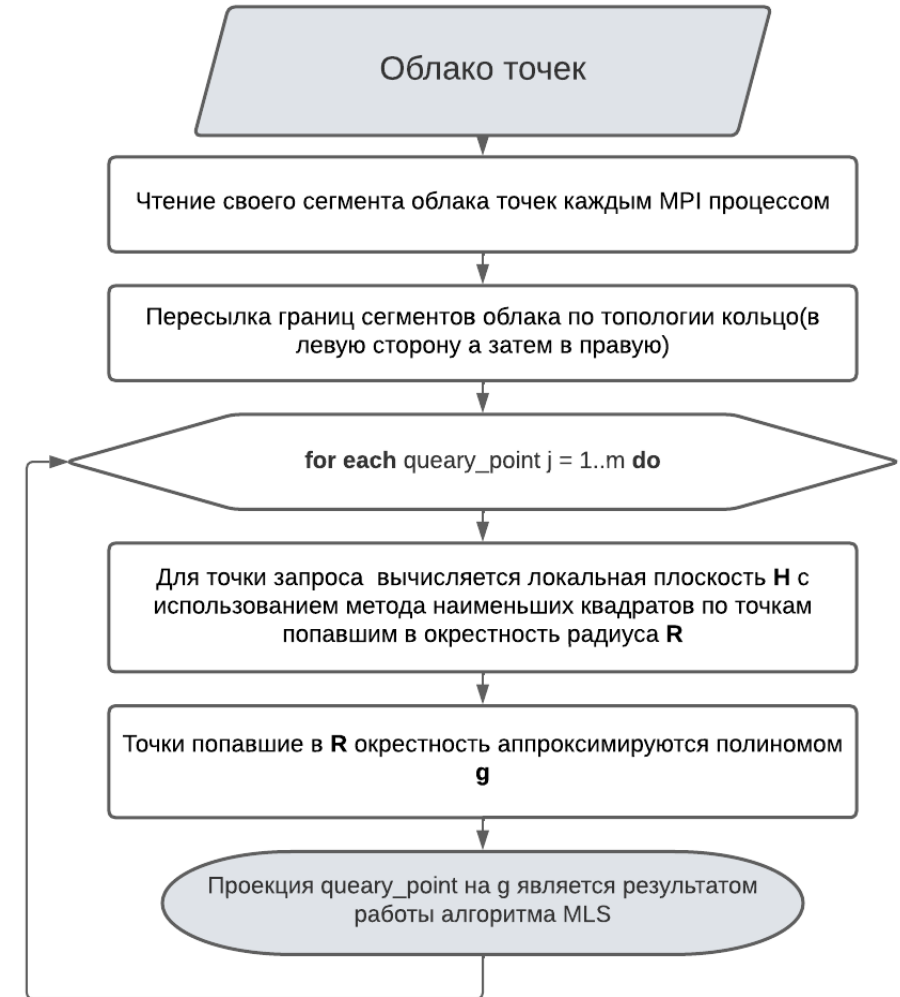
6: **for each** point $j = 1..m$ **do**

7: $H = generate_plane(p_j)$

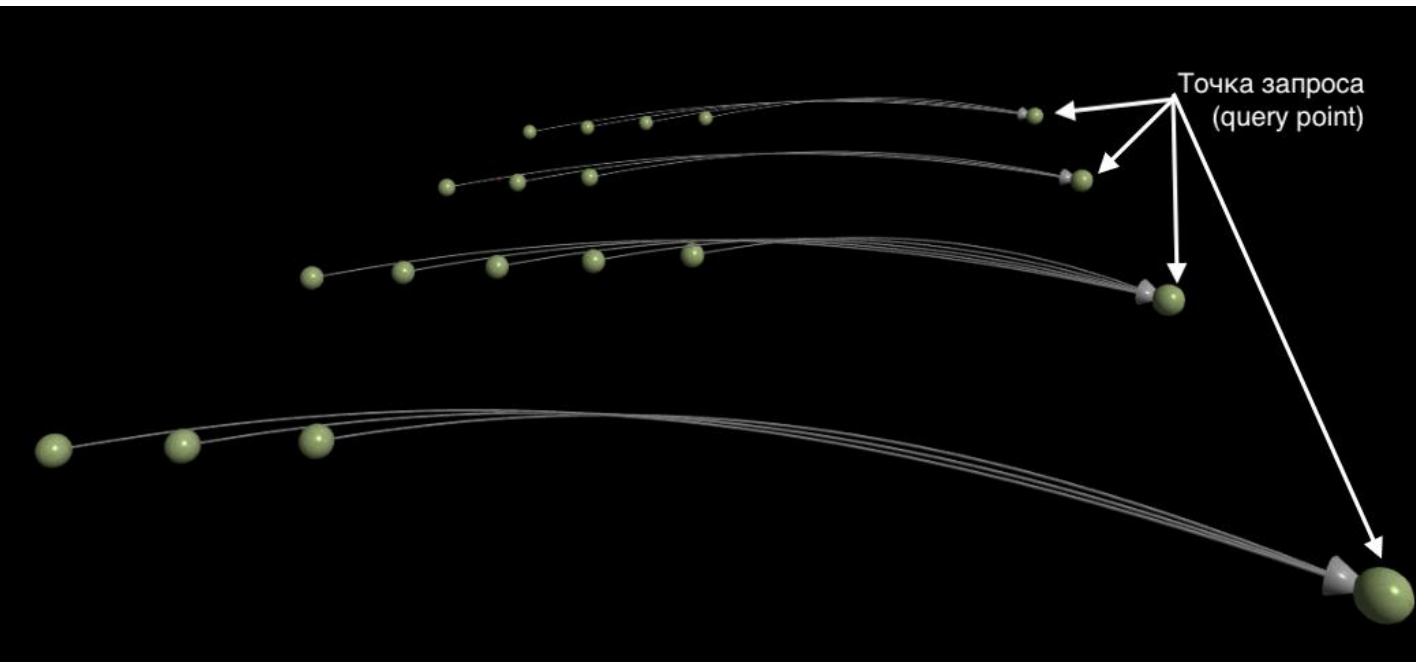
8: $g = generate_local_polynomial_approximation(H)$

9: $result_point = project_on_polynom(p_j, polynom)$

10: **end for**



Граф информационной зависимости MLS



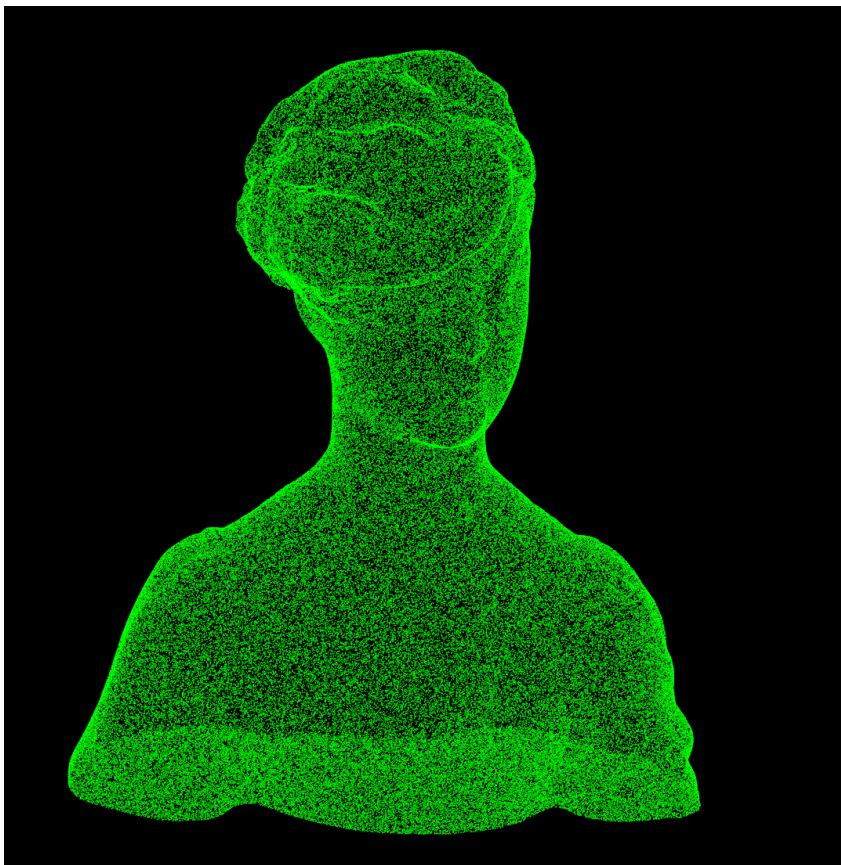
Алгоритм 1 Параллельный метод движущихся наименьших квадратов с MPI и OpenMP

Вход: набор точек $P = \{p_i\} \ i = 1..n$

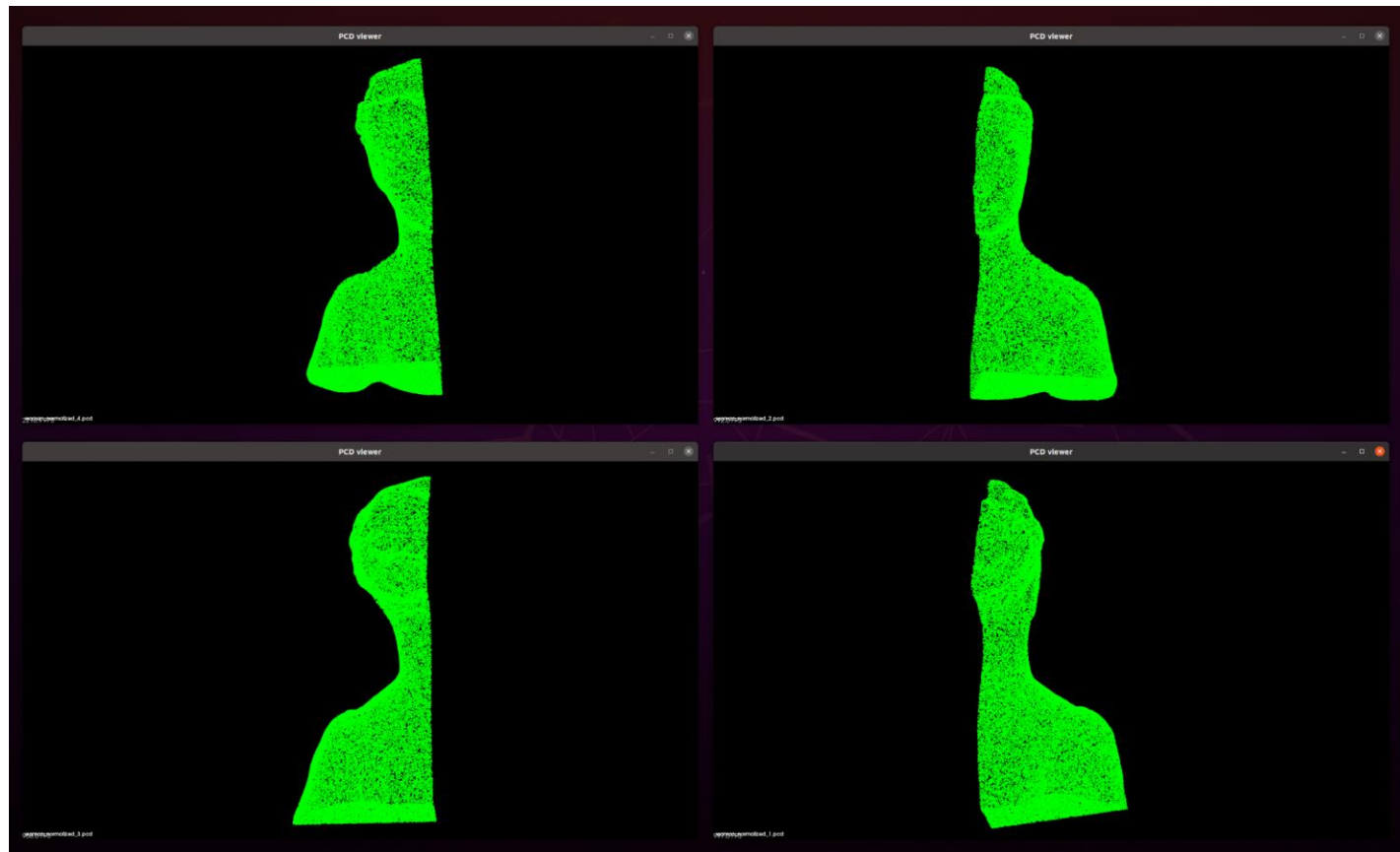
Выход: поверхность представленная набором точек

- 1: **for each** process u **do**
- 2: $P^{(u)} = \text{read}(P)$ // каждый процесс считывает свой сегмент облака точек $P^{(u)} = \{p_j\} \ j = 1..m$
- 3: $P_l^{(u)} = \text{send_recv}(P_r^{(u-1)})$ // получение левой границы
- 4: $P_r^{(u)} = \text{send_recv}(P_l^{(u+1)})$ // получение правой границы
- 5: **pragma omp parallel for**
- 6: **for each** point $j = 1..m$ **do**
- 7: $H = \text{generate_plane}(p_j)$
- 8: $g = \text{generate_local_polynomial_approximation}(H)$
- 9: $\text{result_point} = \text{project_on_polynom}(p_j, \text{polynom})$
- 10: **end for**

Распределение сегментов облака точек по процессам



$np = 1$



$np = 4$

Вычислительная сложность основных этапов алгоритма

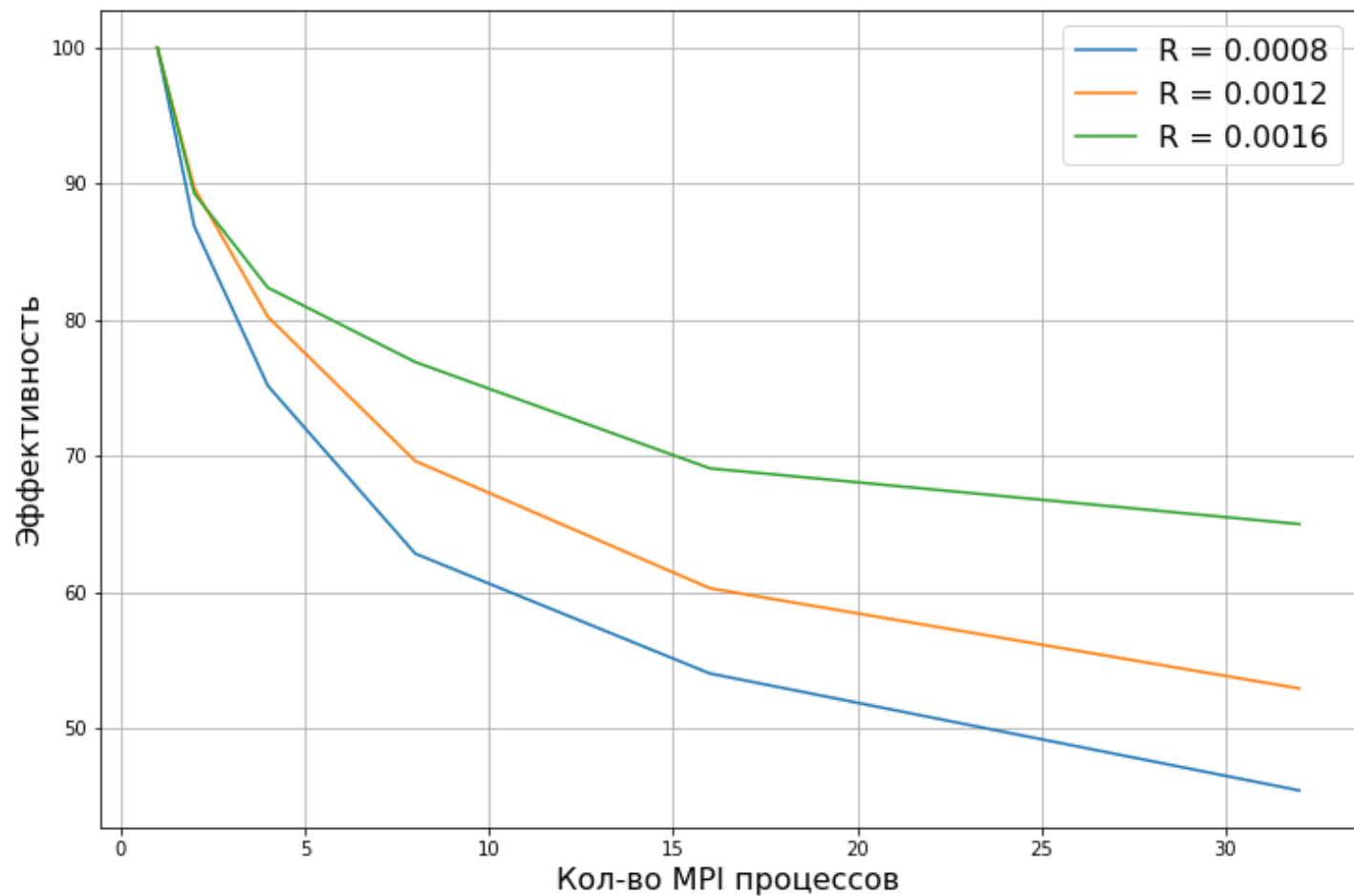
Этап алгоритма	Вычислительная сложность
Построение k-d дерева	$O(n \cdot k \cdot \log(n))$ (Несбалансированное $O(n(k + \log(n)))$)
Поиск точек в окрестности R по k-d дереву	$O(\log n)$
Метод наименьших квадратов	$O(C^2 \cdot m)$ ($C = 4$)
Интерполяция полиномом	$O(m^2)$

<https://jcggt.org/published/0004/01/03/>

<https://math.stackexchange.com/questions/84495/computational-complexity-of-least-square-regression-operation>

<https://cs.stackexchange.com/questions/93936/complexity-of-polynomial-interpolation>

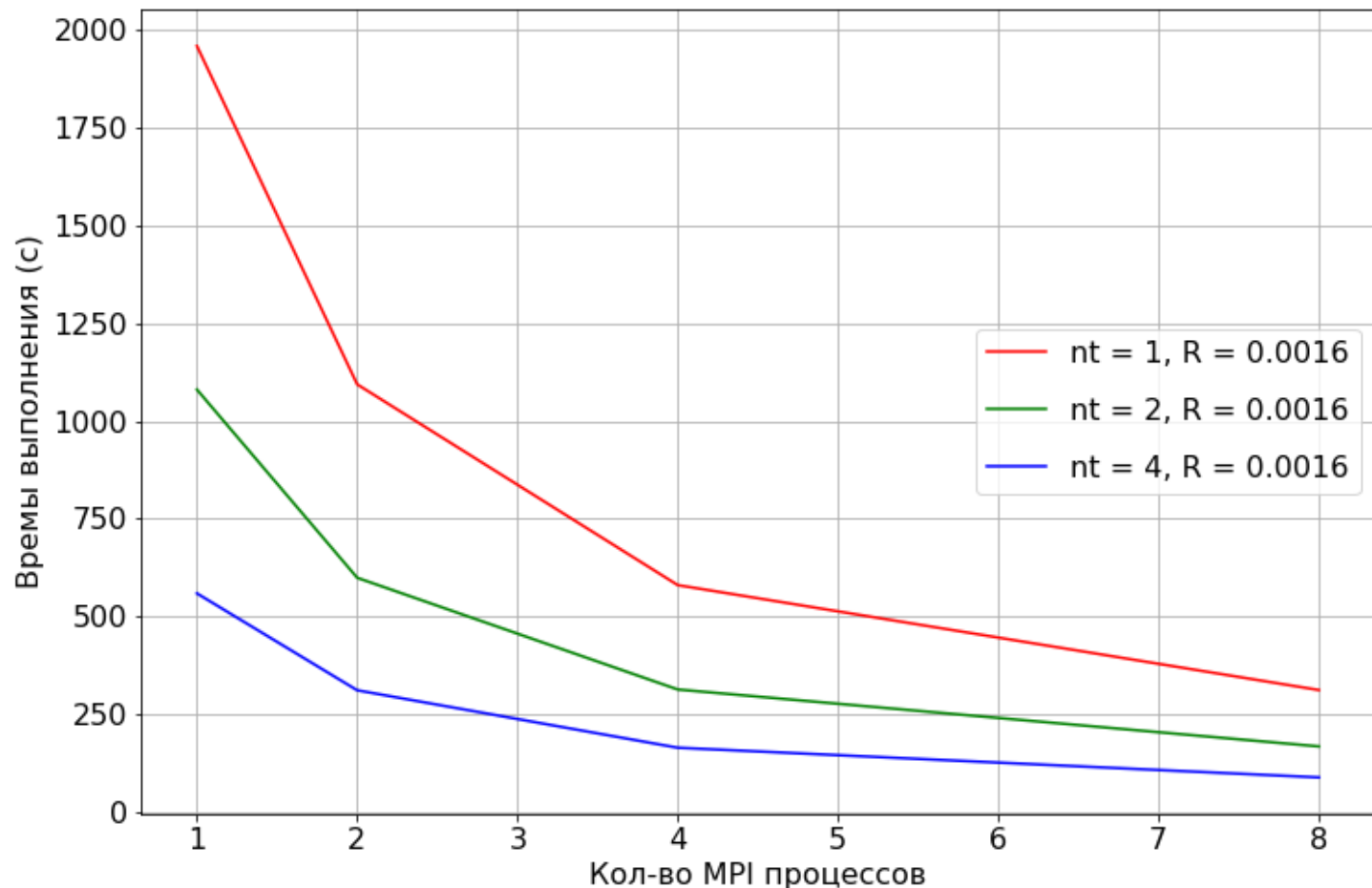
MPI программа



$$S_p = \frac{t_1}{t_p},$$

$$E_p = \frac{S_p}{p} * 100\%$$

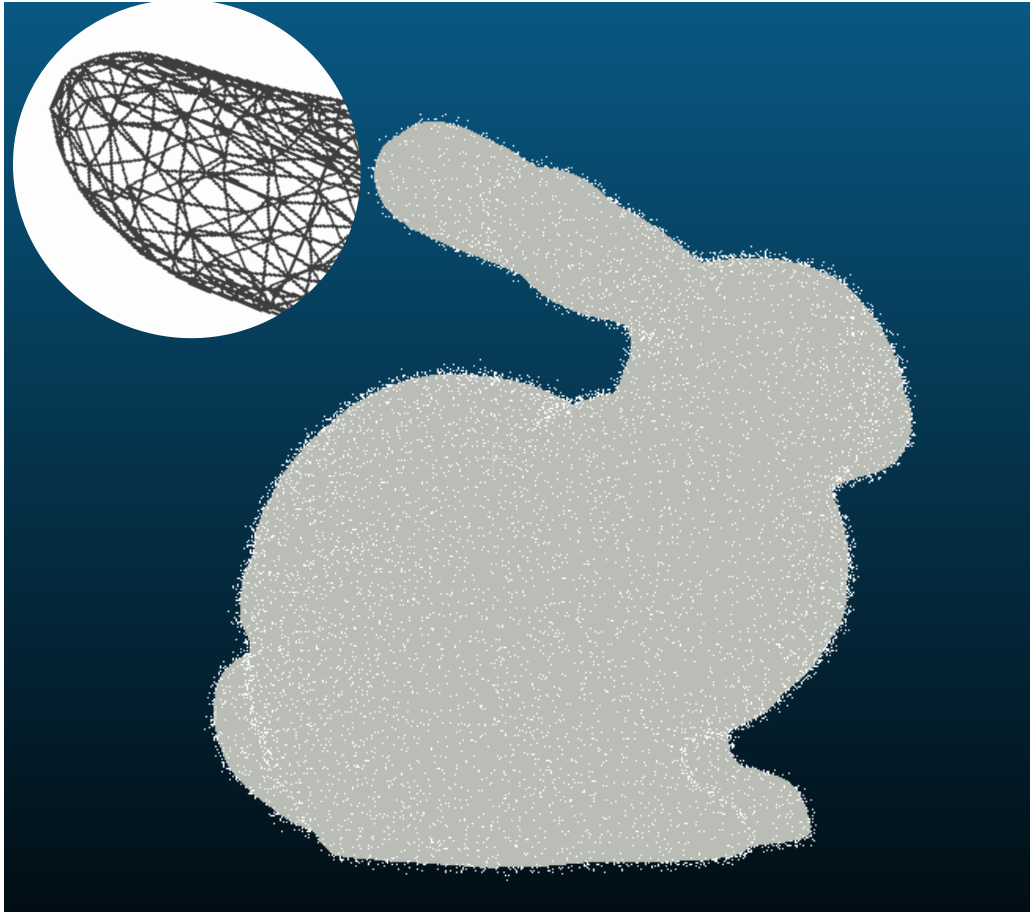
MPI + OpenMP



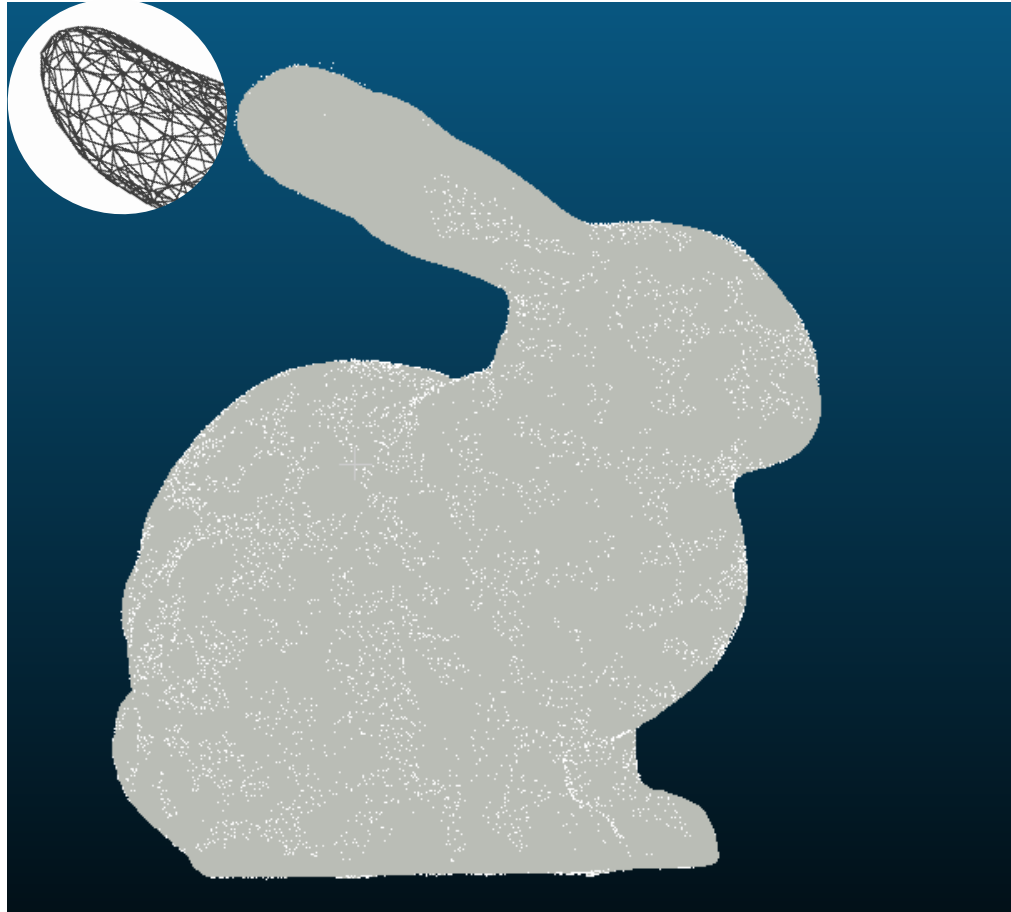
Сравнение ускорения для MPI и гибридной программы($R = 0.0016$):

$np*nt$	MPI	MPI + OpenMP
4	3.38	3.51
8	6.3	6.7
16	11.61	12.9
32	21.65	23.7

Результат работы алгоритма



Зашумленное облако точек



После применения MLS

Результат работы алгоритма

применен MLS	σ	R	ср. геом. откл.	ср. кв. откл.	min	max
×	0.005	—	0.00484	0.00269	3.8e-05	0.0245
✓	0.005	0.005	0.00372	0.00181	5.5e-05	0.01418
✓	0.005	0.01	0.00434	0.00245	6.7e-05	0.01715
✓	0.005	0.03	0.00248	0.00117	3.5e-05	0.01676
✓	0.005	0.05	0.00277	0.00185	1.3e-05	0.02362
×	0.01	—	0.00854	0.00563	0.0001	0.04387
✓	0.01	0.005	0.00578	0.00339	6.2e-05	0.02481
✓	0.01	0.01	0.00741	0.0045	8.7e-05	0.03055
✓	0.01	0.03	0.00334	0.002	9e-06	0.04387
✓	0.01	0.05	0.00344	0.00226	6.1e-05	0.03942
×	0.03	—	0.02333	0.01722	0.000167	0.13393
✓	0.03	0.005	0.01424	0.01001	0.000167	0.06133
✓	0.03	0.01	0.01672	0.01168	0.000158	0.07857
✓	0.03	0.03	0.02065	0.01572	0.00012	0.10811
✓	0.03	0.05	0.01284	0.01116	8.3e-05	0.11659

Модель: Bunny



Основные результаты

- Реализованы следующие варианты параллельного алгоритма реконструкции поверхности:
 - для систем с общей памятью (с использованием OpenMP),
 - с распределённой памятью (с использованием MPI)
 - гибридный вариант (MPI + OpenMP)
- Исследована эффективность, разработанного алгоритма а также проведены тесты реконструкции реальных поверхностей.



Апробация

1. М.И. Хабибулин. Исследование эффективности метода движущихся наименьших квадратов при реконструкции трёхмерной поверхности на суперкомпьютере. Конференция "Ломоносов": труды международной научной конференции "Ломоносов". 10-21 апреля 2023 г., С. 40-43, Москва.



Спасибо за внимание



Список литературы

1. Levoy S. R. M. QSplat: A Multiresolution Point Rendering System for Large Meshes // Stanford University. — 2000. — С. 1.
2. Morton G. M. A computer oriented geodetic data base; and a new technique in file sequencing // IBM Ltd., Tech. Rep. — 1966.
3. Levin. D. The approximation power of moving least-squares // Mathematics of Computation. — 1998. — С. 224.